

2 - 2 東北地方およびその周辺の微小地震活動 (1999 年 11 月 ~ 2000 年 4 月)

Microearthquake Activity in and around the Tohoku District (November, 1999-April, 2000)

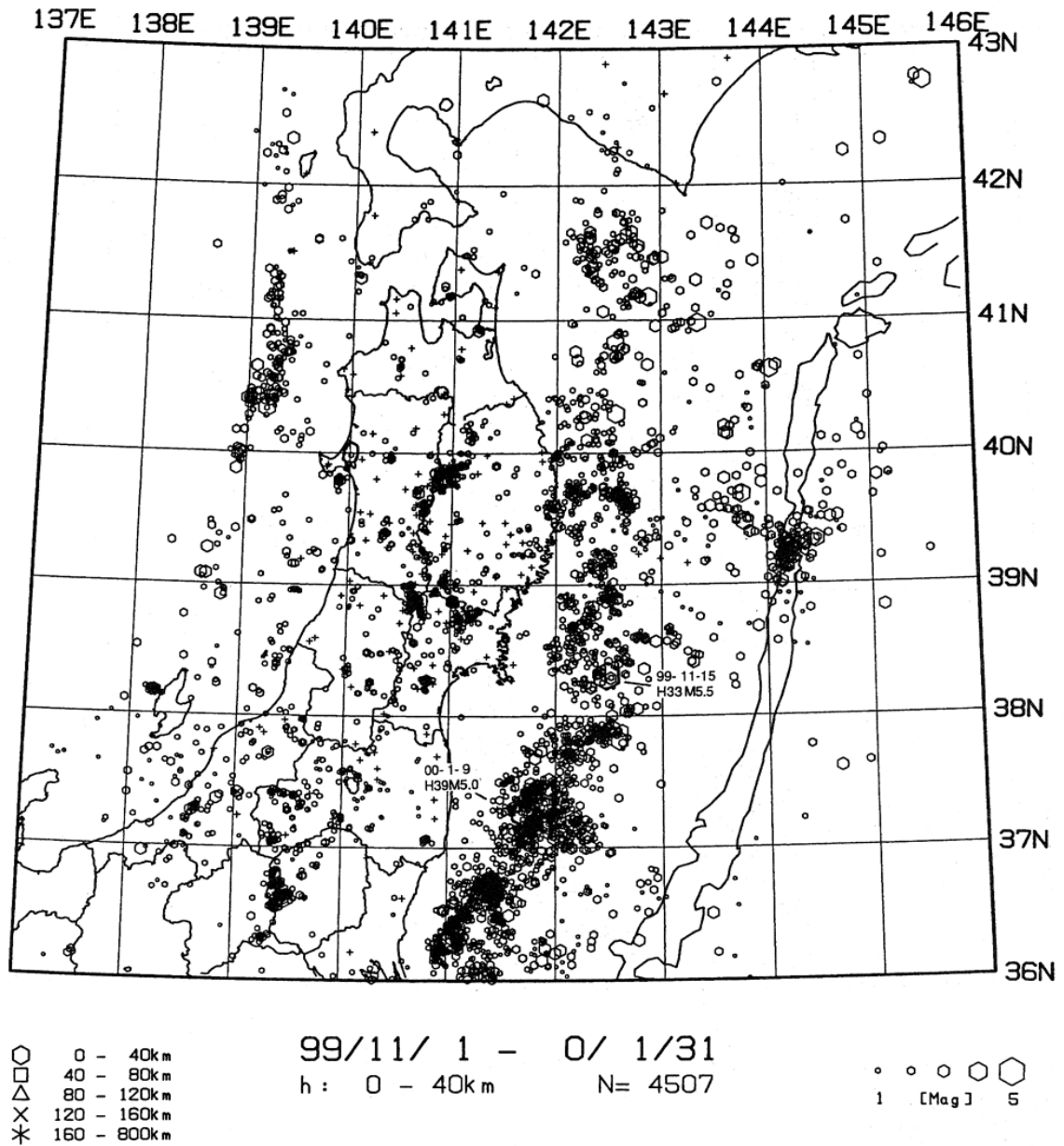
東北大学大学院理学研究科

Graduate School of Science, Tohoku University

1999 年 11 月 ~ 2000 年 1 月と 2000 年 2 月 ~ 4 月の各 3 ヶ月間に震源決定された地震の震央分布を第 1 図 ~ 第 4 図に示す。また, 1999 年 11 月 ~ 2000 年 4 月の期間の 1 ヶ月ごとの震央分布を第 5 図 ~ 第 10 図に示す。

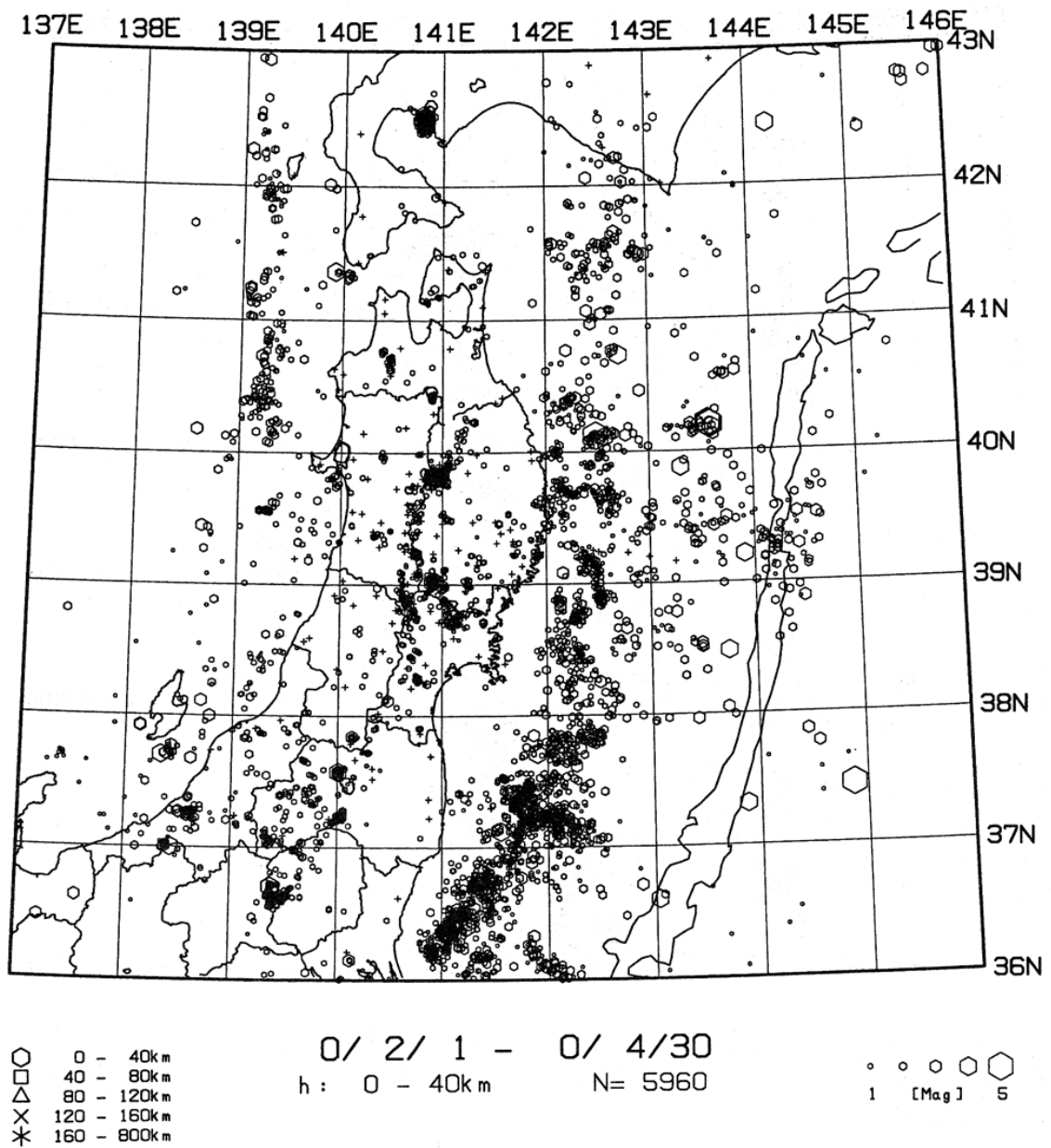
1999 年 11 月 ~ 2000 年 4 月の期間に東北地方の内陸部に発生した $M \leq 3$ の地震のメカニズム解を第 11 図と第 12 図に示す。

2000 年 4 月 26 日に福島県会津地方に発生した $M4.3$ の地震およびその余震の震源分布を第 13 図に示す。震源は P 波 8 点と S 波 3 点の均一観測点法によって再決定された。本震のメカニズム解と余震の深さ分布とから, 本震の断層面は東南東側に傾斜していることがわかる。



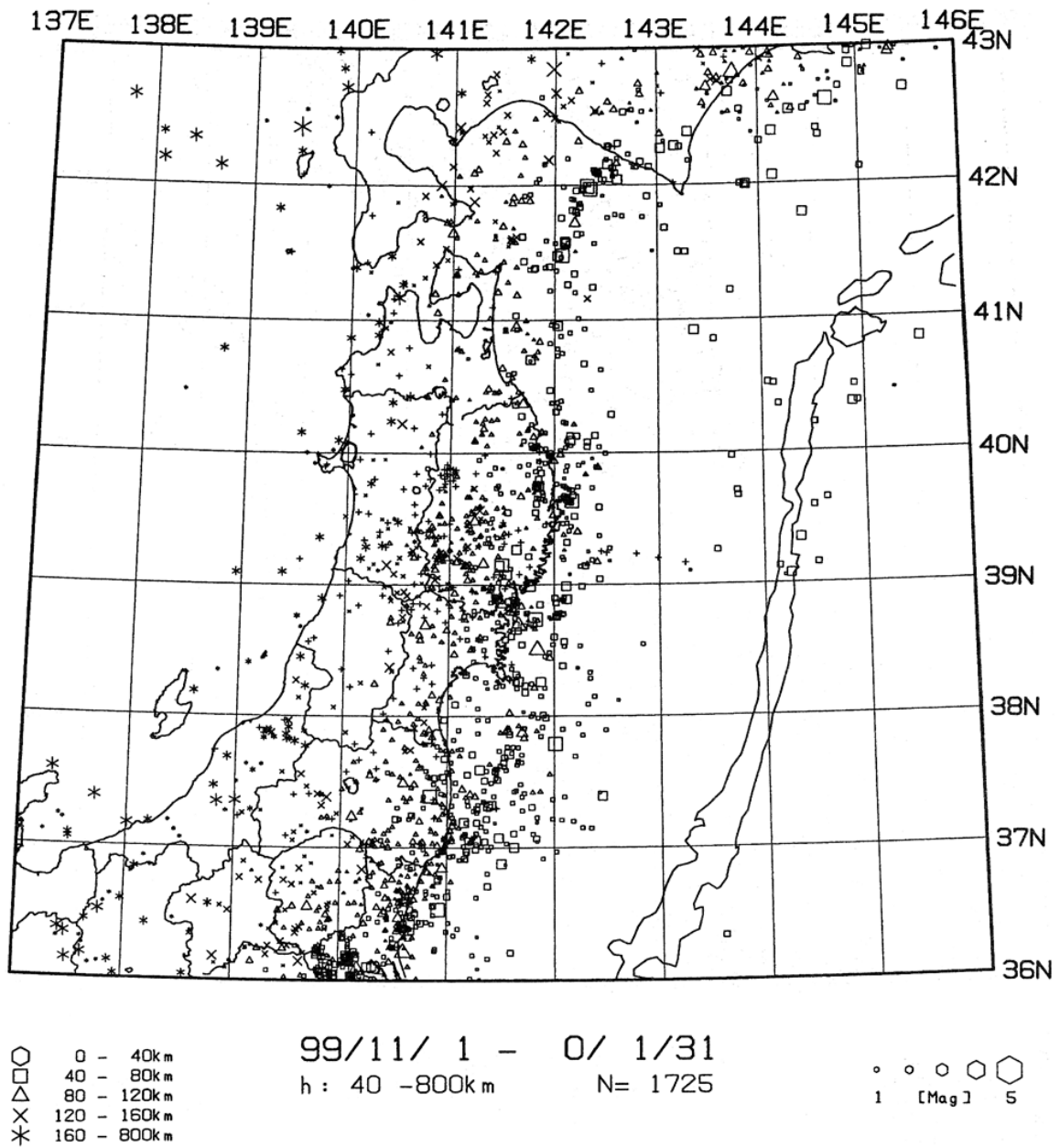
第1図 東北地方の浅発微小地震の震央分布 (1999年11月~2000年1月)

Fig.1 Epicenter distribution of shallow microearthquakes ($h < 40\text{km}$) in the Tohoku District (November, 1999-January, 2000).



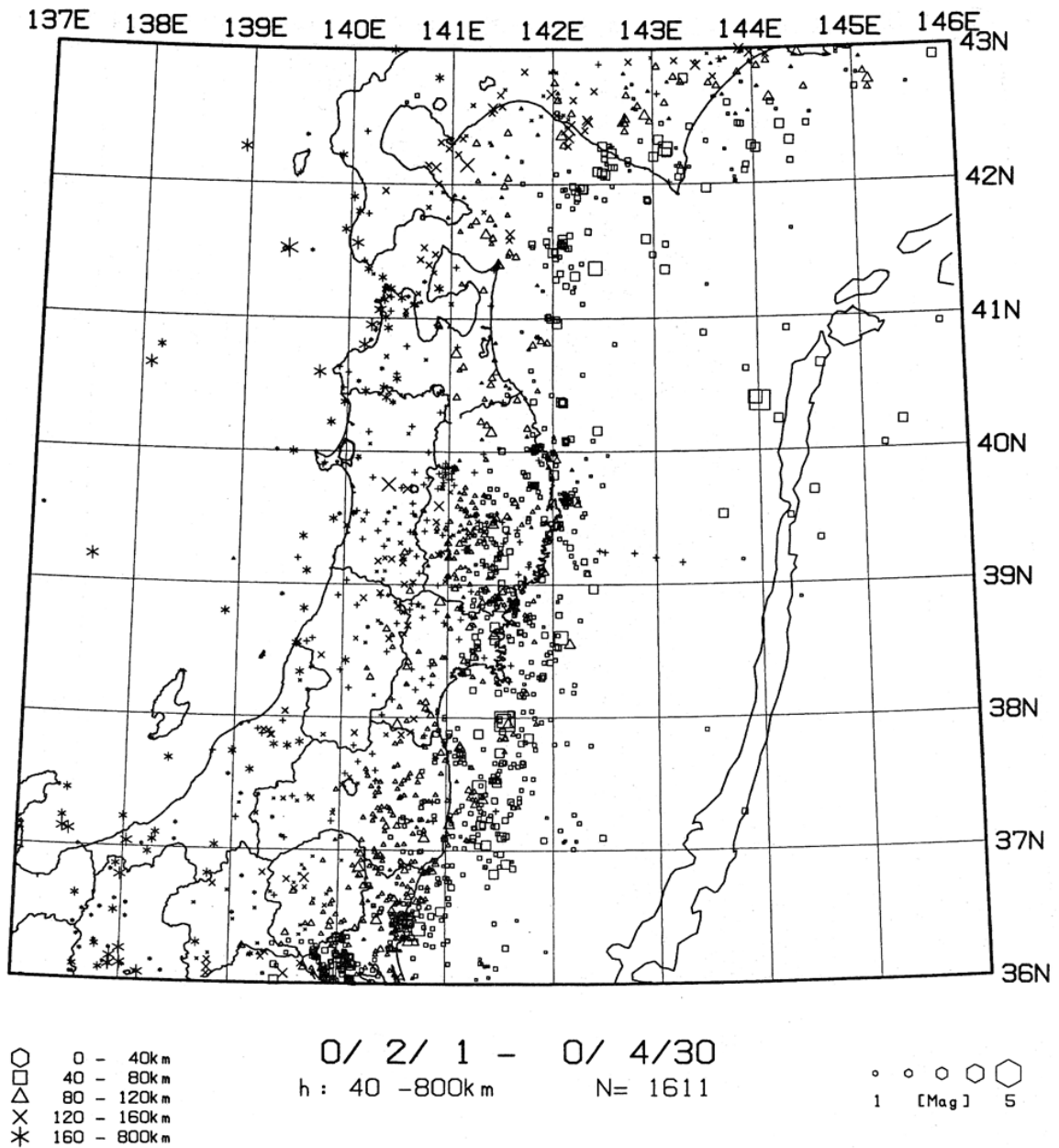
第2図 東北地方の浅発微小地震の震央分布(2000年2月~4月)

Fig.2 Epicenter distribution of shallow microearthquakes ($h < 40\text{km}$) in the Tohoku District (February-April, 2000).



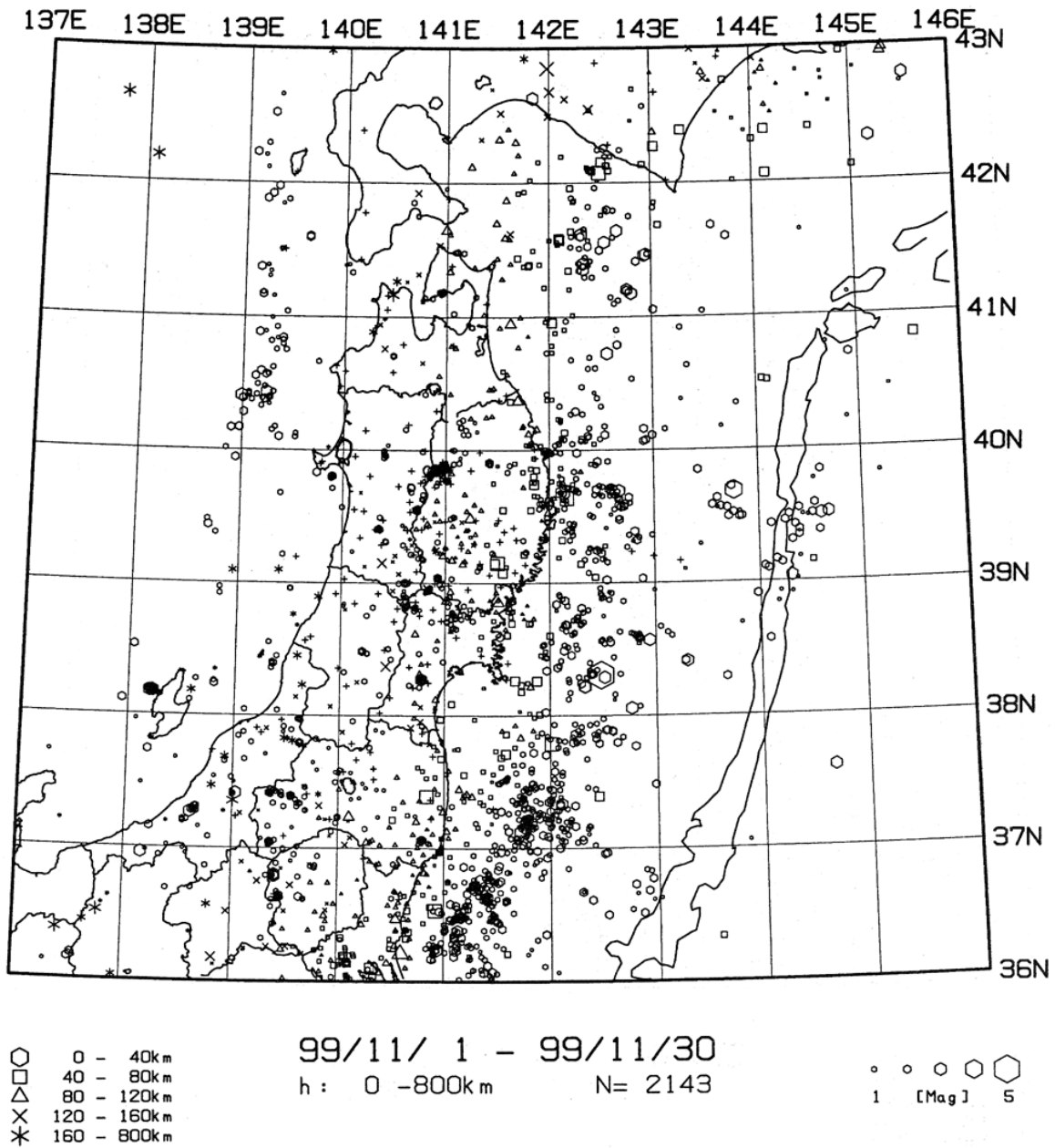
第3図 東北地方の $h < 40\text{km}$ の微小地震の震央分布 (1999年11月~2000年1月)

Fig.3 Epicenter distribution of microearthquakes ($h < 40\text{km}$) in the Tohoku District (November, 1999-January, 2000).



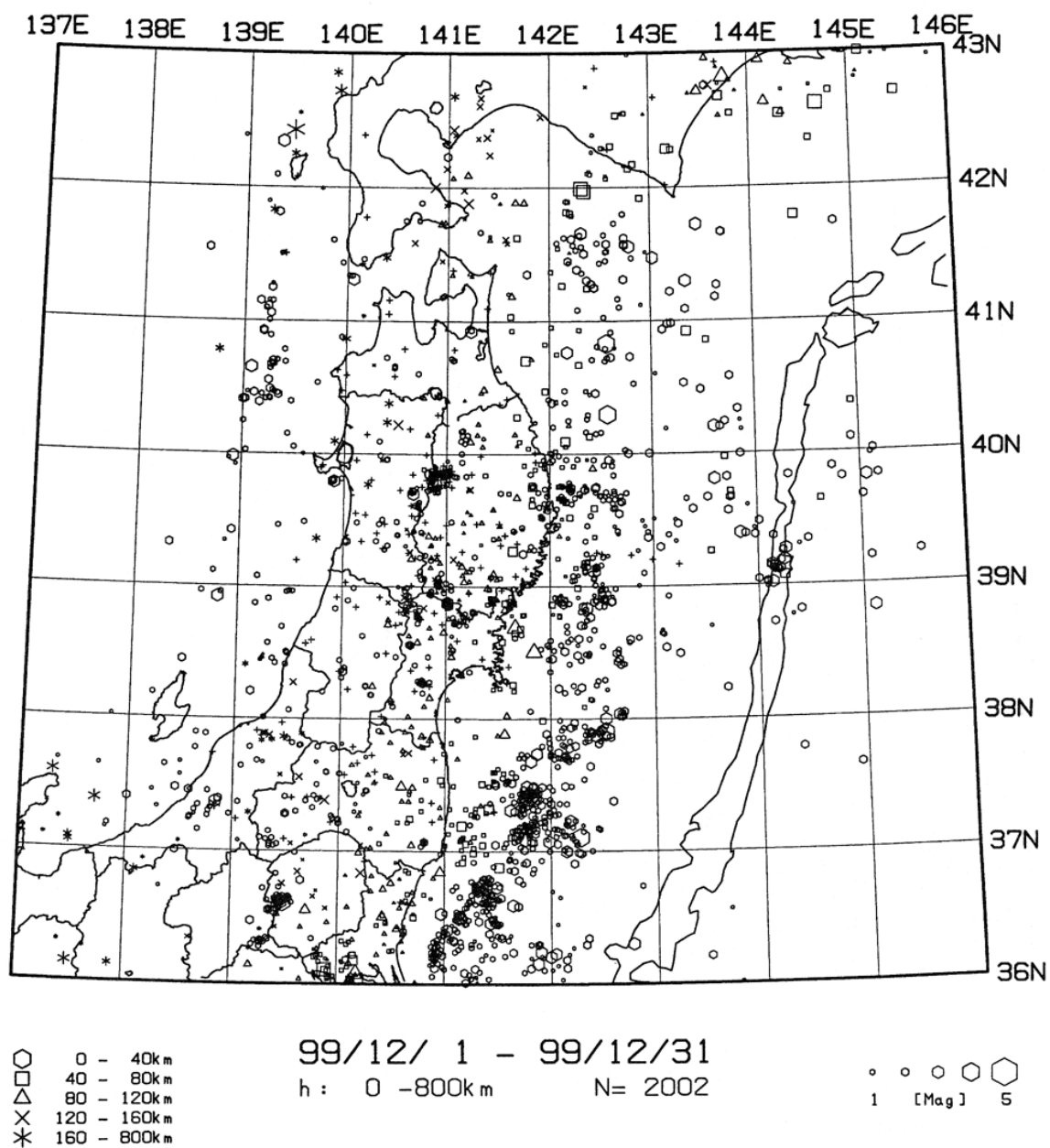
第4図 東北地方のh < 40kmの微小地震の震央分布(2000年2月~4月)

Fig.4 Epicenter distribution of microearthquakes (h < 40km) in the Tohoku District (February-April, 2000).



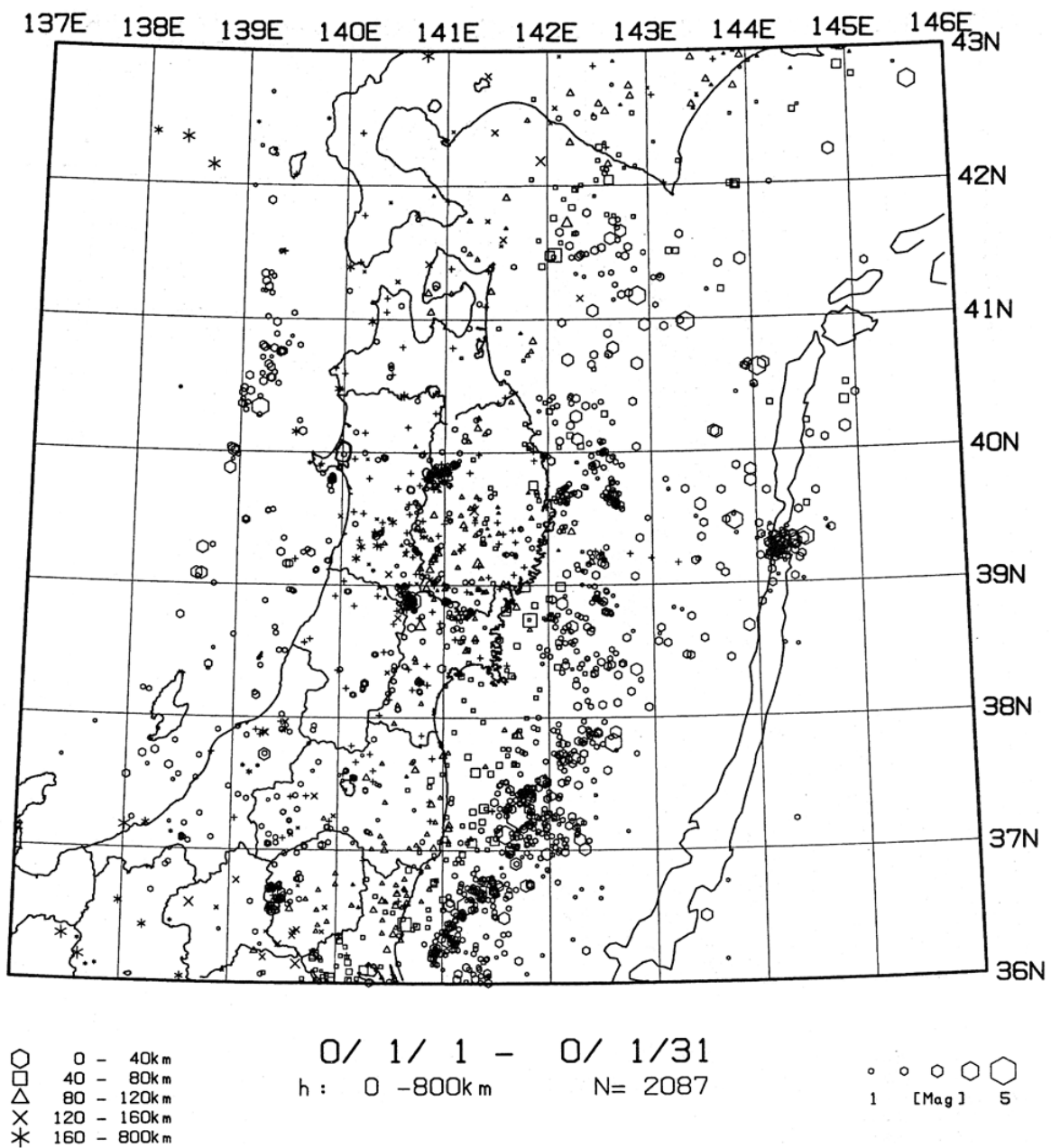
第 5 図 東北地方の微小地震の震央分布 (1999 年 11 月)

Fig.5 Epicenter distribution of microearthquakes in the Tohoku District (November, 1999).



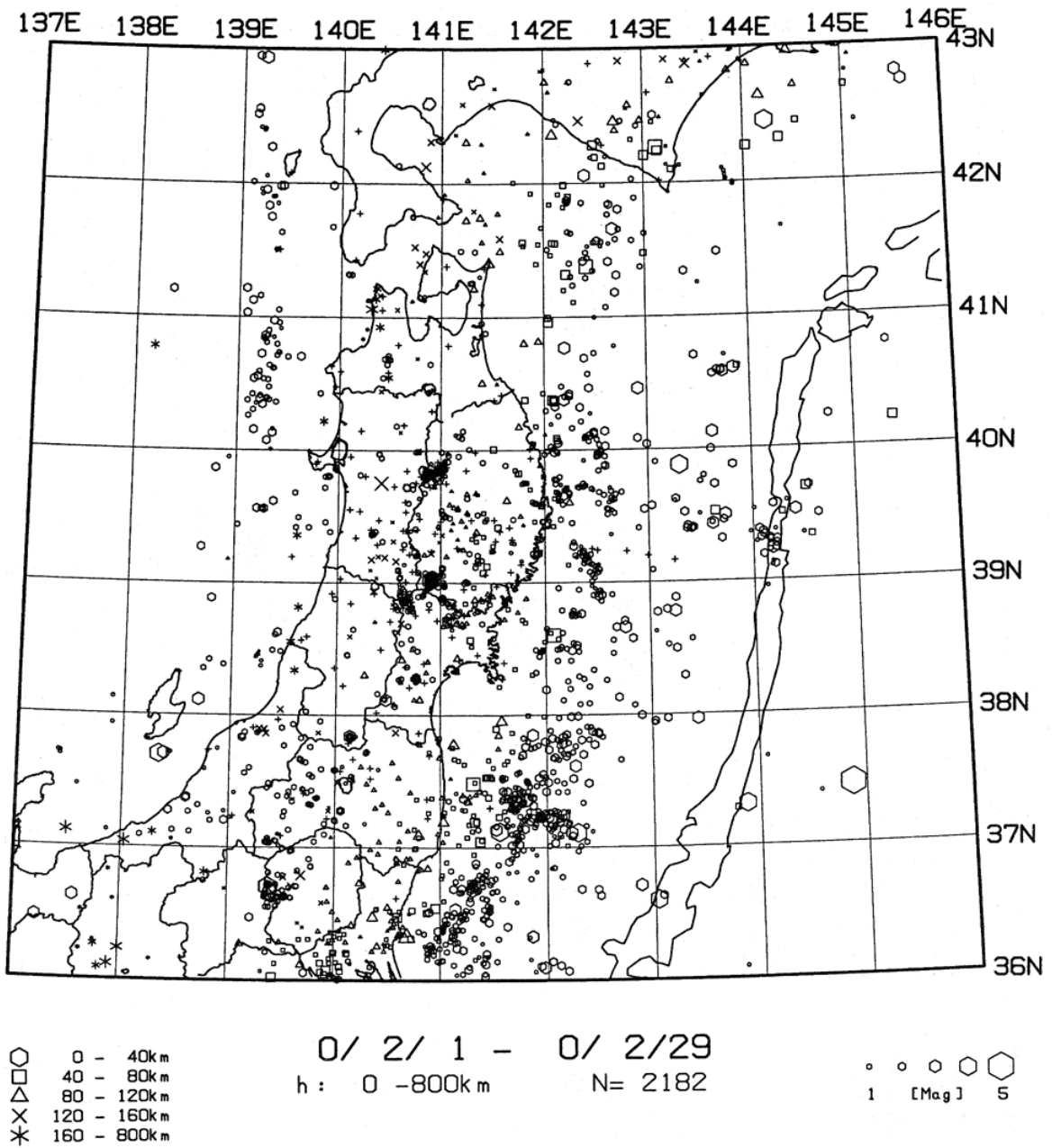
第 6 図 東北地方の微小地震の震央分布 (1999 年 12 月)

Fig.6 Epicenter distribution of microearthquakes in the Tohoku District (December, 1999).



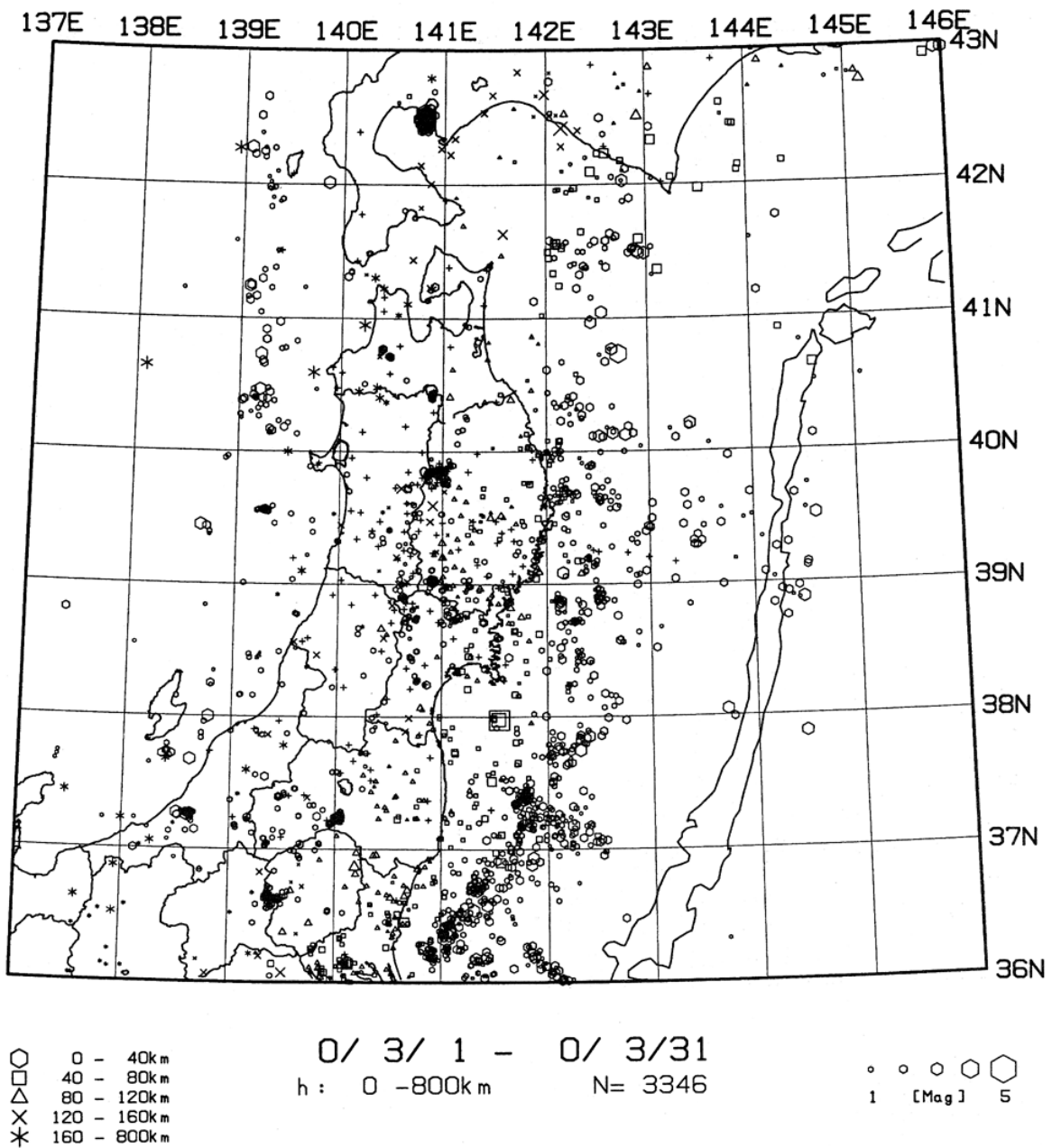
第7図 東北地方の微小地震の震央分布 (2000年1月)

Fig.7 Epicenter distribution of microearthquakes in the Tohoku District (January, 2000).



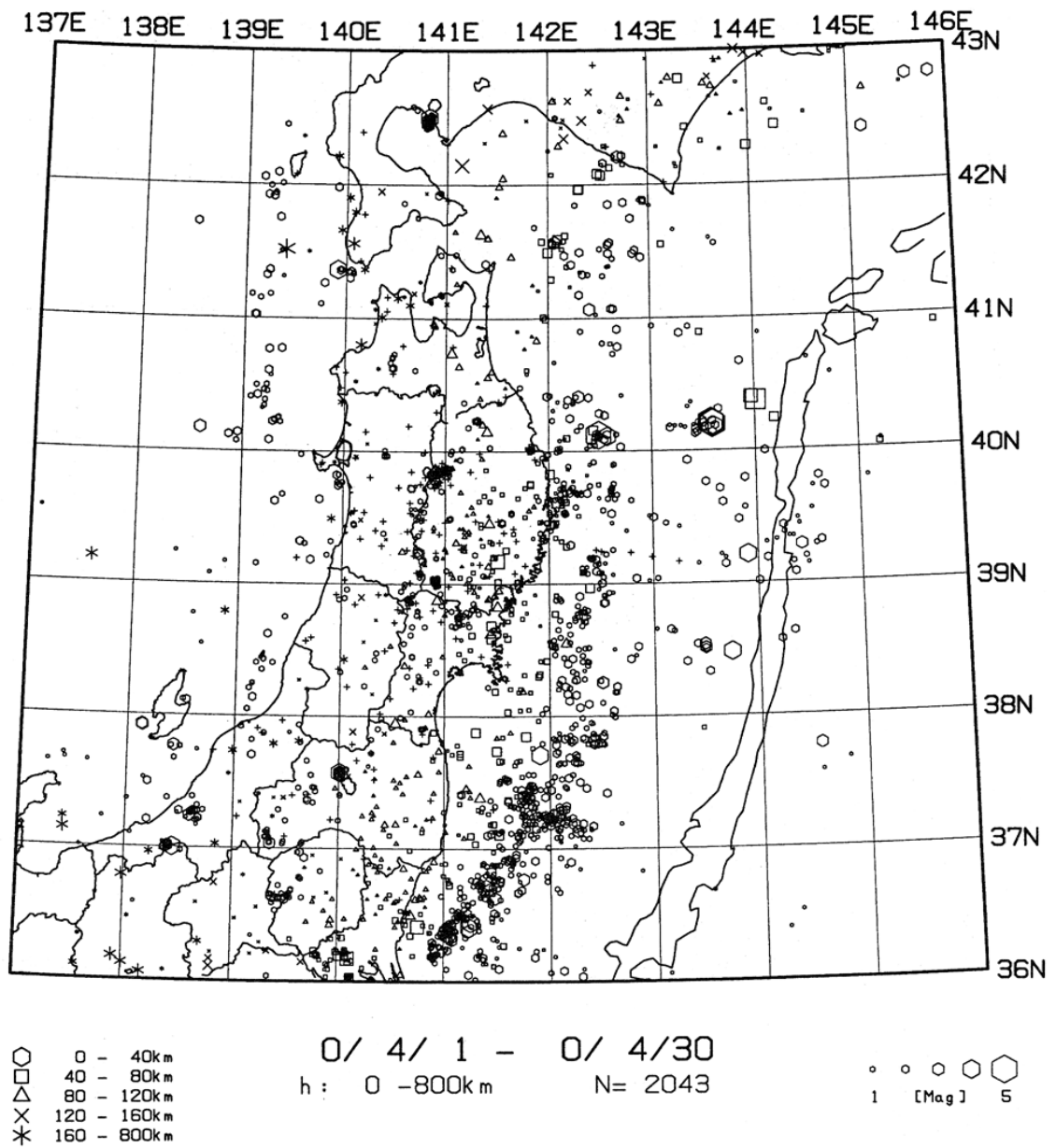
第 8 図 東北地方の微小地震の震央分布 (2000 年 2 月)

Fig.8 Epicenter distribution of microearthquakes in the Tohoku District (February, 2000).



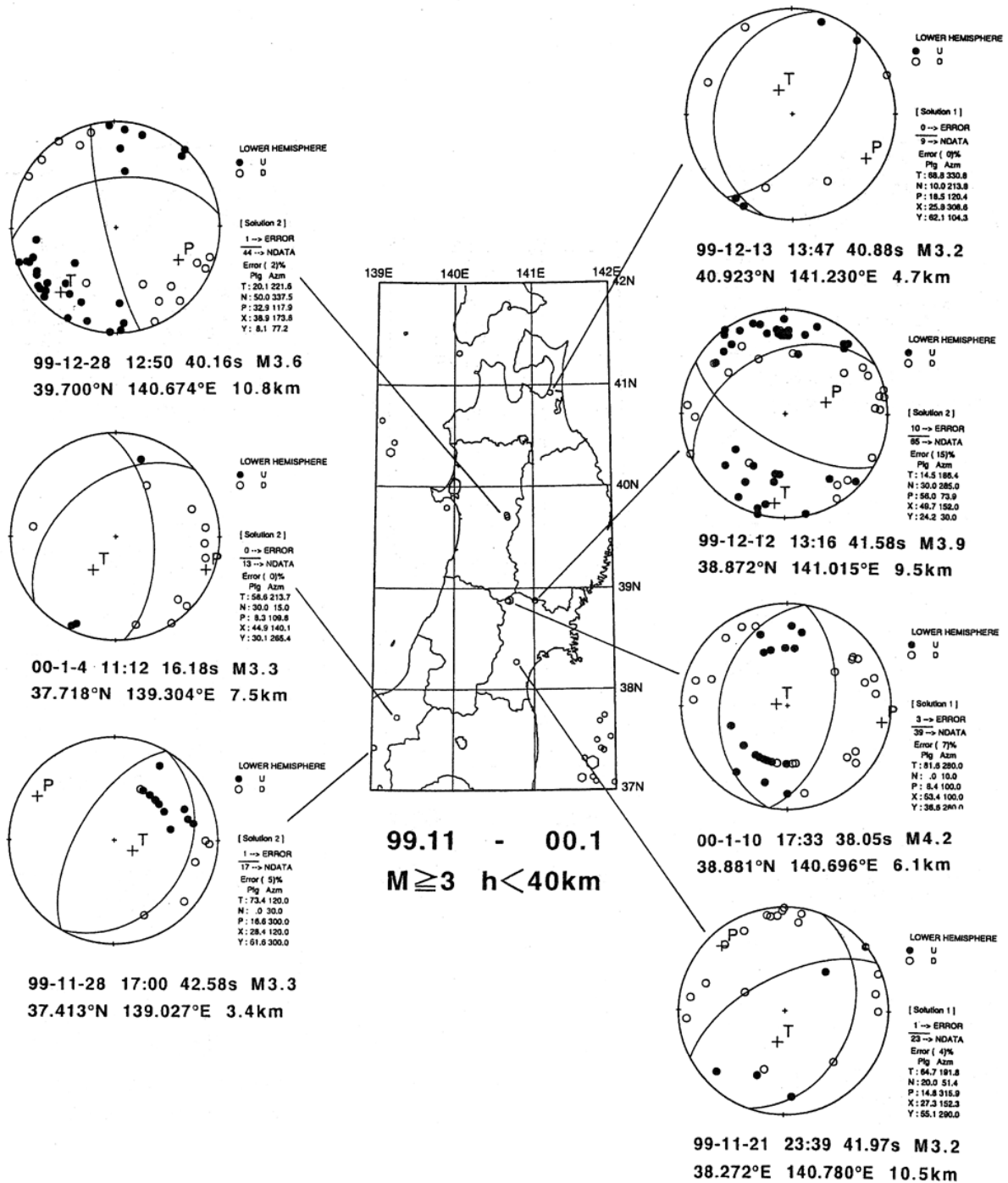
第9図 東北地方の微小地震の震央分布 (2000年3月)

Fig.9 Epicenter distribution of microearthquakes in the Tohoku District (March, 2000).



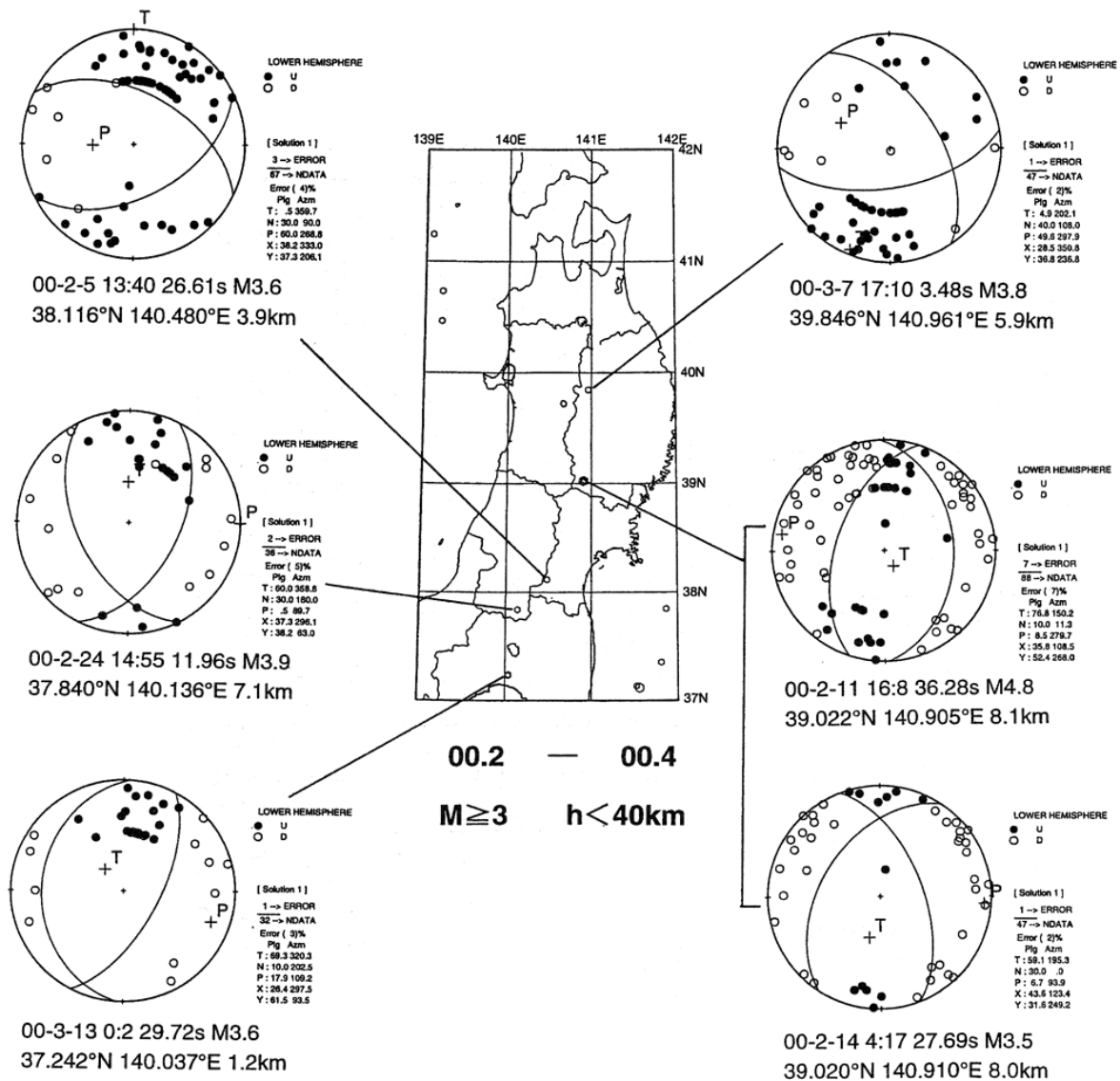
第 10 図 東北地方の微小地震の震央分布 (2000 年 4 月)

Fig.10 Epicenter distribution of microearthquakes in the Tohoku District (April, 2000).



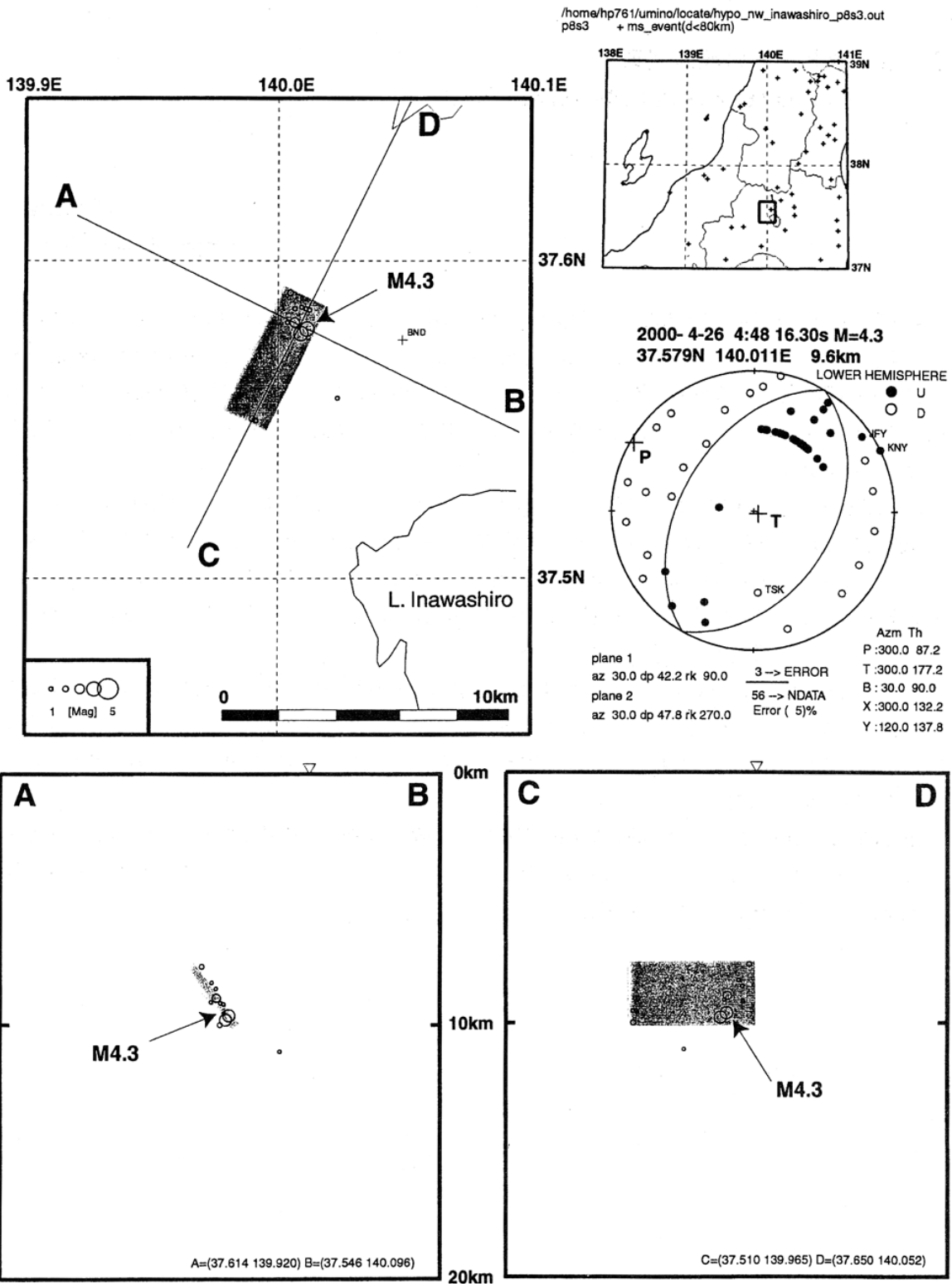
第 11 図 1999 年 11 月 ~ 2000 年 1 月に東北地方で発生した M 3 の浅発地震の震央分布と主な地震のメカニズム解 (下半球等積投影法)。 ● が押し, ○ が引きを表す。

Fig.11 Epicenter distribution and focal mechanism solutions (projected onto a lower hemisphere by the equal-area projection method) for the events with M 3 in the Tohoku District (November, 1999 -January, 2000).



第 12 図 2000 年 2 月 ~ 4 月に東北地方で発生した M 3 の浅発地震の震央分布と主な地震のメカニズム解 (下半球等積投影法) が押し, が引きを表す。

Fig.12 Epicenter distribution and focal mechanism solutions (projected onto a lower hemisphere by the equal-area projection method) for the events with M 3 in the Tohoku District (February-April, 2000).



第 13 図 福島県会津地方の地震の再決定震源分布。8 観測点による均一観測点法で再決定した地震の震源分布。

Fig.13 Relocated hypocenter distribution of earthquakes occurred in Aizu, Fukushima prefecture. Distribution of earthquakes relocated by the homogeneous station method.